

NUDOS Y SUPERFICIES

YOSETH ARCINIEGAS BARRETO, NICOL BERMUDEZ BOHORQUEZ,
JUANITA PINZÓN-CAICEDO, AND LUISA ROZO POSADA

RESUMEN. Estas notas son una introducción a la teoría de nudos desde la perspectiva de las superficies. Las notas abordan conceptos fundamentales tales como isotopías, movimientos de Reidemeister, nudos tóricos y superficies orientables, conexas y con una componente conexas. De igual forma se exponen invariantes de nudos definidos a través de las superficies de Seifert y sus matrices asociadas, incluyendo el 3-género, el polinomio de Alexander y la signatura. Finalmente, a partir de la noción de concordancia y la operación de suma conexas, se introduce una estructura de grupo en el conjunto de nudos.

1. INTRODUCCIÓN

La **topología** es una rama de las matemáticas que estudia aquellas propiedades de los objetos geométricos que se mantienen bajo alguna relación de equivalencia, tal es el caso de nuestros objetos de estudio, los **nudos**. Estos, vistos desde la topología, resultan ser objetos interesantes que nos permiten movilizarnos entre diversos espacios y dimensiones, así mismo preguntarnos por sus deformaciones que permitan equivalencias entre ellos y por ende definir invariantes que se mantengan bajo estas clasificaciones.

La teoría de nudos nació como un intento de comprender el universo. Alrededor de 1867, cuando la comunidad científica quería poder explicar los diferentes tipos de materia, el matemático y físico escocés Peter Guthrie Tait le mostró a su amigo Lord Kelvin (Sir William Thomson) un artefacto que al utilizarlo generaba anillos de humo. Thomson quedó fascinado con tal demostración por la belleza de los anillos y se preguntó si como los anillos eran vórtices en el aire, los átomos eran anillos de vórtice enredados en el éter, un medio en el cual creían los físicos que yacía la energía.

La teoría de vórtices ganó popularidad e inspiró a Tait a comenzar a tabular todo los nudos, para así generar algo equivalente a una tabla de elementos. Sin embargo a finales de la década de 1880, Thomson fue abandonando su teoría del vórtice, pero para ese entonces Tait ya estaba cautivado por la belleza matemática que ocultaban sus nudos, así que continuó con su proyecto de tabulación. En el proceso estableció el campo matemático de la teoría de los nudos. [14]

Éstas notas son el resultado de el mini-curso “Nudos y Superficies” parte del primer ECOGyT que se llevó a cabo en Bogotá en Julio de 2024. Los resultados que aquí presentamos no son originales, y muchos de los teoremas se enuncian pero no se demuestran. No obstante, intentamos incluir referencias que contienen demostraciones completas y claras.

The third author was partially supported by Simons Collaboration grant 712377.

2. SUPERFICIES

Para poder adentrarnos al mundo de los nudos será necesario en primer lugar familiarizarnos con algunos espacios topológicos fundamentales. Para empezar, consideremos espacios conexos de dimensión 0 y notamos que éstos son conjuntos de un solo punto. En dimensión 1 tenemos un conjunto muy especial: el círculo de radio uno, definido como

$$S^1 = \{(x, y) \in \mathbb{R}^2 \mid x^2 + y^2 = 1\}.$$

Dicho conjunto se caracteriza por ser compacto, conexo y por no tener frontera. Vemos entonces que en cada una de éstas dos dimensiones, tenemos un único espacio cerrado y conexo. Tal no es el caso en las siguientes dimensiones. Los espacios de dimensión 2 son conocidos como superficies, y el primer ejemplo es la 2-esfera en \mathbb{R}^3 :

$$S^2 = \{(x, y, z) \in \mathbb{R}^3 \mid x^2 + y^2 + z^2 = 1\}.$$

Como el punto y el círculo, S^2 es compacta y sin frontera (i.e. cerrado), y consiste de una componente conexa. Sin embargo, como veremos a continuación, no es el único objeto de dimensión 2 con éstos atributos.

Dentro de las superficies estaremos interesados en algunas que cumplan con dos características especiales: ser orientable (definición 2.2) y cerrada (definición 2.1).

Definición 2.1 (Superficie cerrada). *Un espacio topológico S es una superficie cerrada si para todo punto $p \in S$, existe un abierto $U \subseteq S$ tal que $p \in U$ y U es homeomorfo a una ϵ -vecindad euclidea en \mathbb{R}^2 .*

Nótese que una superficie cerrada es en particular compacta y no tiene frontera. Por ejemplo, el disco $D^2 = \{(x, y) \in \mathbb{R}^2 \mid x^2 + y^2 \leq 1\}$ (con la topología del subespacio) es compacto, pero tiene frontera por lo que no es una superficie cerrada¹. Para verlo, note que si $p \in D^2$ tiene norma exactamente 1, la intersección de un disco de radio $\epsilon > 0$ centrado en p y el disco D^2 no es homeomorfo a un abierto de \mathbb{R}^2 , pues contiene todos los puntos de un arco del círculo S^1 .

Para entender la noción de orientabilidad, introducimos primero el ejemplo más concreto de un espacio topológico no-orientable: la cinta de Möbius M , la cual se puede construir a partir de una tira rectangular de papel a la que se da media vuelta en el sentido ‘largo’, para luego pegar los dos extremos cortos. Ésta construcción se puede considerar de manera abstracta como el espacio cociente del rectángulo $[0, 10] \times [0, 1]$ con los bordes verticales $\{0, 10\} \times [0, 1]$ identificados por la relación de equivalencia $(0, y) \sim (10, 1 - y)$ para $0 \leq y \leq 1$.

Podemos ver que M no es una superficie notable: si se parte con una pareja de ejes perpendiculares orientados, al desplazarse paralelamente a lo largo de la cinta, se volverá al punto de partida con la orientación invertida. La Figura 1 ilustra como la ‘torcerdura’ de M genera un problema en la orientación. En cambio el toro si resulta ser una superficie orientable, ya que como se observa es posible encontrar ejes perpendiculares que varían continuamente sobre el toro, y cuya dirección no cambia.

¹Es importante no confundir la noción de superficie cerrada Definición 2.1 con la noción de subconjunto cerrado. El disco es un subconjunto cerrado de \mathbb{R}^2 , pero no es una superficie cerrada.

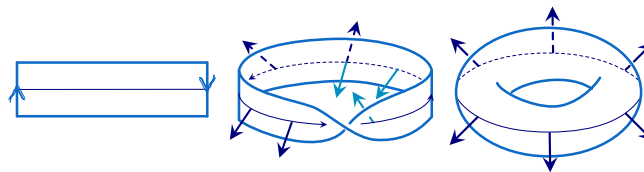


FIGURA 1. Una superficie no orientable y una orientable

Definición 2.2 (Superficie orientable). *Una superficie S se dice no-orientable si existe una banda de Möbius completamente contenida en S .*

2.1. Presentaciones poligonales. Así como la banda de Möbius se puede describir como un espacio cociente de un rectángulo, toda superficie puede ser construida como el espacio cociente de un conjunto de polígonos. Ésta construcción se conoce como ‘*presentación poligonal*’ y consiste de

1. un conjunto de polígonos planos,
2. una orientación de las aristas de todos los polígonos, y
3. una relación de equivalencia que empareja las aristas.

Nótese que si la relación de equivalencia incluye todas las aristas, la presentación poligonal representa una superficie cerrada. Asimismo, si el emparejamiento de las aristas conecta todos los polígonos, entonces la presentación poligonal representa una superficie conexa (de hecho en éste caso se puede considerar una presentación poligonal con un único polígono). Figura 2 muestra una presentación poligonal con dos polígonos.

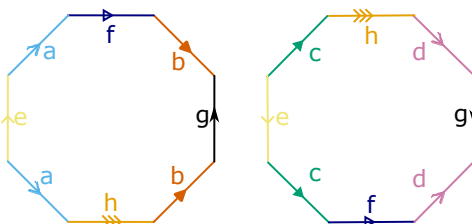


FIGURA 2. Una representación poligonal.

Cabe anotar que las representaciones poligonales no son únicas. De hecho, una superficie S admite un número infinito de presentaciones poligonales. Con miras en la clasificación de superficies cerradas y orientables, para cada entero positivo $g \geq 1$ se define una ‘*presentación poligonal canónica*’ que consiste de un polígono regular de $4g$ lados con el emparejamiento de sus aristas como lo muestra Figura 3. Por ejemplo si tomamos el cuadrado ($g = 1$) con la orientación e identificación que se muestra en la Figura 4, obtenemos la superficie del toro.

Se dice que dos presentaciones P y P' son equivalentes si existe una secuencia de modificaciones Figura 5 que transforma una en la otra. Puesto que ninguna de estas modificaciones cambia realmente la superficie subyacente, se deduce que las superficies representadas por presentaciones poligonales equivalentes son homeomorfas. De manera análoga, si dos superficies S y S' son homeomorfas, entonces el homeomorfismo transforma una presentación poligonal de una en una presentación

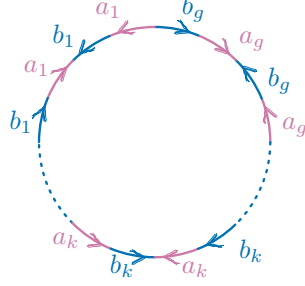


FIGURA 3. Representación poligonal canónica de la suma conexa de g toros.

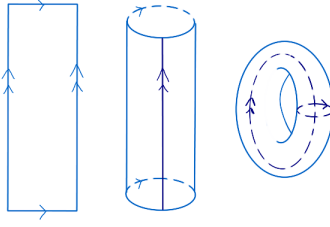


FIGURA 4. Polígono fundamental del toro

poligonal de la otra. Por ejemplo, Figura 2 y Figura 3 con $g = 2$ son equivalentes.

2.2. Característica de Euler. La construcción de superficies como espacios cocientes de polígonos nos permite entonces crear superficies a partir de vértices, aristas y caras. Con esta definición se logra definir un invariante de las superficies conocido como *Característica de Euler*.

Definición 2.3 (Característica de Euler). *Sea M una superficie. La **característica de Euler** asociada a M es:*

$$(1) \quad \chi(M) = V - A + C$$

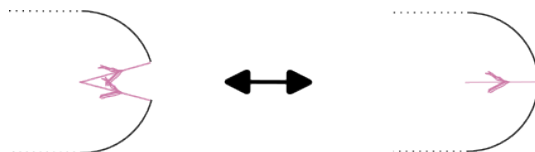
donde V , A y C representan número de vértices, aristas y caras respectivamente.

Por ejemplo, la esfera S^2 se puede formar a partir de 3 vértices, 2 aristas y 1 cara (ver Figura 6), luego su característica de Euler es $\chi(S^2) = 3 - 2 + 1 = 2$. Asimismo, Figura 4 muestra una descomposición del toro \mathbb{T}^2 a partir de 1 vértice, 2 aristas y 1 cara, entonces $\chi(\mathbb{T}^2) = 1 - 2 + 1 = 0$. En general, la superficie Σ_g construída como la suma conexa de g toros admite una descomposición con 1 vértice, $2g$ aristas y 1 cara, por lo que

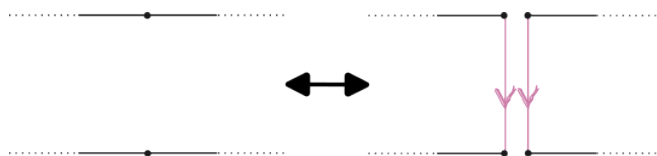
$$(2) \quad \chi(\Sigma_g) = 1 - 2g + 1 = 2 - 2g.$$

En términos de las modificaciones de presentaciones poligonales que se muestran en Figura 5, nótese que las modificaciones preservan la característica de Euler. El Cuadro 1 muestra los cambios precisos en el número de vértices, aristas y caras. Dejamos los cálculos precisos para el lector interesado.

Modificación 1: Eliminación de aristas contiguas y emparejadas, y de el vértice que las une.



Modificación 2: División de una cara y creación de dos aristas emparejadas.



Modificación 3: División de un par de aristas identificadas y creación de un vértice.

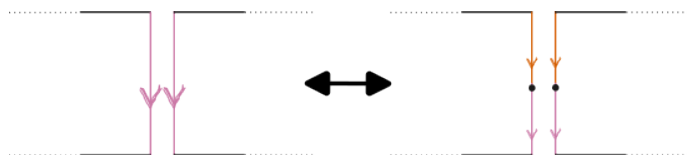


FIGURA 5. Modificaciones de presentaciones poligonales.

	Modificación 1		Modificación 2		Modificación 3	
	P_{izq}	P_{der}	P_{izq}	P_{der}	P_{izq}	P_{der}
Vértices	V	$V - 1$	V	V	V	$V + 1$
Aristas	A	$A - 1$	A	$A + 1$	A	$A + 1$
Caras	C	C	C	$C + 1$	C	C

CUADRO 1. Cambios en el número de vértices, aristas y caras luego de realizar las modificaciones de Figura 5. Se denota por P_{izq} y P_{der} las presentaciones poligonales que aparecen en la parte izquierda y derecha de la imagen que ilustra cada modificación.

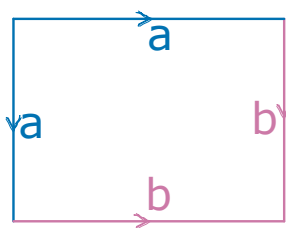


FIGURA 6. Esfera S^2 con vértices, aristas y caras

2.3. Clasificación de superficies cerradas y orientables. La existencia de presentaciones poligonales para las superficies cerradas y la característica de Euler son los elementos fundamentales en la demostración del siguiente teorema:

Teorema 2.4 (Homeomorfismo de superficies). *Una superficie orientable, cerrada y conexa es homeomorfa la esfera o a la suma conexa de g toros con $g \geq 1$.*

El número g de toros de la suma conexa se conoce como el **genero de la superficie** S y se representa como $g(S)$. En términos de la demostración, Teorema 2.4 se obtiene como consecuencia del siguiente resultado:

Teorema 2.5 (Clasificación de superficies cerradas). *Sean S_1 y S_2 superficies cerradas y orientables. Las siguientes afirmaciones son equivalentes:*

- (I) *Existe un homeomorfismo $h : S_1 \rightarrow S_2$.*
- (II) *S_1 y S_2 admiten presentaciones poligonales equivalentes.*
- (III) $\chi(S_1) = \chi(S_2)$

Los detalles de la demostración se encuentran en [15, Section 3.2]. En términos generales, el resultado se obtiene luego de establecer los siguientes lemmas:

- A. Dos superficies son homeomorfas si y sólo si tienen presentaciones poligonales equivalentes.
- B. Cualquier presentación poligonal es equivalente a una de las presentaciones poligonales canónicas.
- C. Si dos presentaciones poligonales son equivalentes, entonces tienen la misma característica de Euler.

3. NUDOS

3.1. Generalidades. A lo largo de esta sección se desarrollarán algunos conceptos claves para la comprensión de la teoría de nudos como encajamientos, isotopía, equivalencia, etc...

Como un primer acercamiento visual nos podemos imaginar un nudo como tomar una cuerda “*enredarla*” y unir sus extremos. Visto desde un punto de vista matemático un nudo K se puede entender como incrustar el lazo cerrado S^1 en el espacio 3-dimensional. Veamos esta definición un poco más formal.

Definición 3.1 (Nudo). *Un nudo K en \mathbb{R}^3 es una curva cerrada y suave. Es decir existe una función*

$$K : S^1 \rightarrow \mathbb{R}^3$$

suave y biyectiva en su imagen (encajamiento).

La condición de suavidad garantiza que no exista una sucesión de nudos más pequeños (ver Figura 7a), por otro lado la sobreyectividad sobre la imagen es necesaria para que en la imagen no hayan cortes, es decir, se puede decidir siempre cuál parte del lazo va por arriba y cuál parte por debajo (ver Figura 7b).

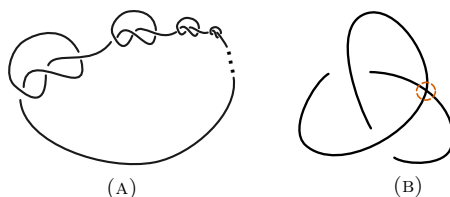


FIGURA 7. Estos casos se evitan con suavidad y sobreyectividad

Este encajamiento con el que se define un nudo se puede representar gráficamente apartir de un diagrama, el cual se puede interpretar como una proyección del nudo en el plano. A continuación se muestran algunos ejemplos de nudos, más específicamente diagramas de diferentes nudos. Uno de esos nudos es conocido como el nudo trivial, este nudo tiene como característica que no está anudado (ver Figura 8).

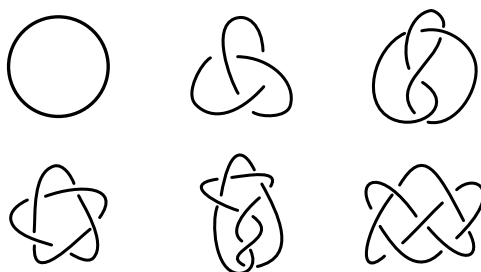


FIGURA 8. Ejemplos de nudos

Ahora observemos el diagrama (ver Figura 9), es fácil observar que podemos deformar este nudo de forma suave y obtener el nudo trivial, es natural entonces preguntarnos si dado un nudo, este se puede deformar en otro nudo que en esencia sean el mismo. En otras palabras, queremos determinar cuándo dos nudos son equivalentes.

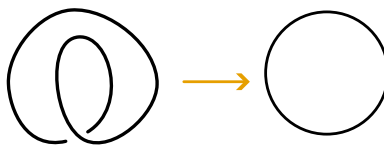


FIGURA 9. Deformar un nudo en el trivial

Definición 3.2 (Equivalencia de nudos). *Dos nudos K_0, K_1 nudos, son equivalentes si existe una función $F : [0, 1] \times \mathbb{R}^3 \rightarrow \mathbb{R}^3$ tal que:*

1. $f_t(x) = F(t, x)$ es un difeomorfismo para todo $t \in [0, 1]$.
2. $f_0(x) = x$ for all $x \in \mathbb{R}^3$.
3. $f_1(K_0) = (K_1)$.

Esta definición nos indica que comenzamos con los nudos originales en el espacio y vamos deformando K_0 de forma suave y que cada paso se pueda devolver de forma suave, así hasta que en el último movimiento se obtenga el nudo K_1 .

Sin embargo, Reidemeister en 1927 propone tres movimientos *locales* que permiten transformar nudos de una forma adecuada como se solicitaba. Estos movimientos se muestran en la tabla expuesta en la Figura 10.

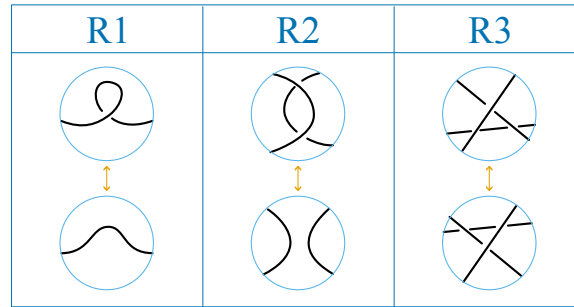


FIGURA 10. Movimientos de Reidemeister

Observemos el ejemplo de la Figura 11, si consideremos el nudo a izquierda y aplicamos la siguiente secuencia de movimientos de Reidemeister, obtenemos el nudo trivial. Este ejemplo nos permite preguntarnos si estos movimientos permiten determinar la equivalencia entre nudos, en efecto se obtiene el siguiente teorema.

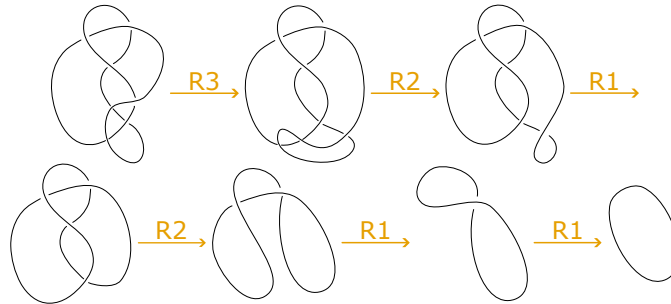


FIGURA 11. Deformación de un nudo al nudo trivial

Teorema 3.3 (Reidemeister). *Dos nudos K_1, K_2 son equivalentes si y solo si existe un diagrama D_i con $i \in \{1, 2\}$ para cada K_i tales que K_1 se puede deformar en K_2 via una secuencia de movimientos de Reidemeister.*

Hasta el momento no se ha tenido en cuenta una orientación para nuestros nudos. En caso de que se requiera escoger una orientación para nuestros nudos, obtendremos los nudos denotados *nudos orientados*, esta orientación se escoge en un punto inicial y recorrer el nudo en una sola dirección hasta regresar al punto inicial.

Por ejemplo, para el nudo trébol podemos considerar orientarlo en el sentido de las manecillas del reloj o en sentido contrario (ver Figura 12).

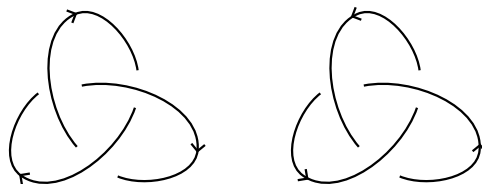


FIGURA 12. Orientaciones del nudo trébol

Esta noción de orientación de un nudo nos servirá más adelante para la construcción de superficies asociadas al nudo.

4. FAMILIAS DE NUDOS

Los nudos se clasifican en tres familias disjuntas: tóricos, hiperbólicos y satelitales. En ésta sección introducimos de manera breve éstas tres familias y describimos ejemplos de nudos que pertenecen a cada una de ellas.

4.1. Nudos Tóricos. Los nudos tóricos son un tipo de nudos especiales que se pueden formar sobre la superficie de un toro $S^1 \times S^1$ no anudado en \mathbb{R}^3 . Para esta construcción se debe tener en cuenta que el toro está formado por dos tipos de círculos, uno en dirección meridional (el camino ‘corto’ del toro) y otro círculo en dirección longitudinal (el camino que encierra el agujero del toro) como lo ilustra la Figura 13.

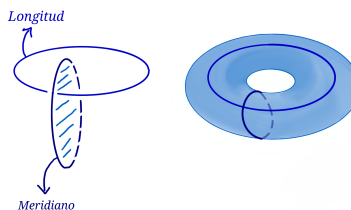


FIGURA 13. Toro a partir de meridianos y longitudinales

Cada nudo tórico está determinado por un par de enteros coprimos p, q y se define como

$$(3) \quad T_{p,q} = \{(z^p, z^q) \mid z \in S^1\},$$

es decir, es la curva cerrada que rodea p veces el disco interno del toro sólido, y q veces el agujero. La dirección en la que el hilo del nudo se dispone en el toro se hace de tal forma que cuando $pq > 0$, los hilos formen una hélice con torsión a la derecha. En ocasiones es un poco difícil determinar de manera directa si esta asignación de *envolturas* es correcta, una forma de verificarlo es adicionando un meridiano y una curva longitudinal y observar cuántas veces estas cortan al nudo, indicando los valores de q y p respectivamente. Recíprocamente si el nudo cruza p veces la curva longitudinal, entonces el nudo debe envolverse en el sentido meridional p veces. Por ejemplo para el nudo trébol, en el toro este corresponde al nudo tórico $T_{3,2}$ (ver

Figura 14).

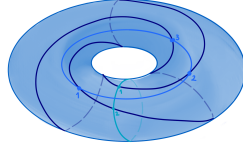


FIGURA 14. Nudo $T_{3,2}$ (Trébol)

Los nudos tóricos se pueden construir a partir de un pequeño algoritmo. Para construir el nudo tórico $T_{p,q}$, se marcan $|p|$ puntos tanto en la curva longitudinal exterior como en la interior, y se unen con un arco los puntos directamente opuestos por la parte inferior del toro. En la parte superior del toro se une cada punto exterior con el punto interior que está a q/p de distancia en el sentido de las manecillas del reloj, es decir saltamos q puntos y conectamos en el $q + 1$. La Figura 15 ilustra la construcción del nudo tórico $T_{5,3}$.

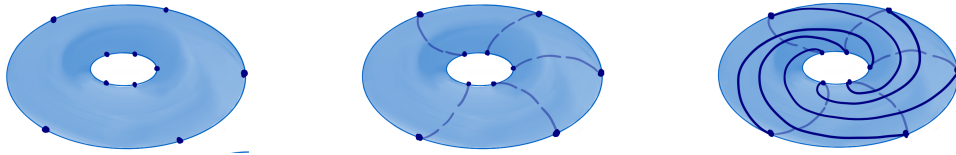


FIGURA 15. Construcción del toro $T_{5,3}$

Para representar los nudos tóricos en el diagrama poligonal canónico del toro (ver Figura 4), primero se dibuja una cuadrícula de tamaño $|p| \times |q|$ en el cuadrado. Si $pq > 0$ se traza una línea recta que une la esquina inferior izquierda con la esquina superior derecha de cada rectángulo de la cuadrícula. Si $pq < 0$ se unen la esquina superior izquierda con la inferior derecha. La Figura 16 muestra la representación de los nudos $T_{3,4}$ y $T_{4,3}$. En general, tenemos la siguiente proposición.

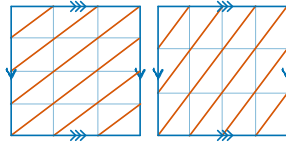


FIGURA 16. Diagrama poligonal del $T_{3,4}$ y $T_{4,3}$

Proposición 4.1. Sean p, q primos relativos. Los nudos $T_{p,q}$ y $T_{q,p}$ son equivalentes.

Para ver la isotopía eliminamos un disco punteado de la superficie del toro, asegurándonos que el disco no toca el nudo, luego podemos observar que al *agrandar* el hueco generado por el disco eliminado, el toro se convierte en dos bandas, una relacionada con el meridiano y una con la longitudinal, posteriormente las bandas

cambian de roles a partir de enviar hacia adentro el meridiano y hacia afuera la longitudinal, logrando el toro con las bandas invertidas, así obteniendo el nudo tórico $T_{q,p}$. (ver Figura 17).

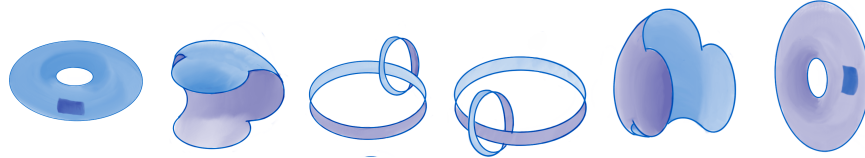


FIGURA 17. Inversión del toro, cambiando curvas longitudinales y meridianos de posición

4.2. Nudos Hiperbólicos. Un nudo K es hiperbólico si su complemento $S^3 \setminus K$ admite una métrica riemanniana de curvatura negativa constante. La clase de nudos de 2 puentes que no son toroidales es una familia infinita de nudos hiperbólicos [9]. Definiremos esta familia de nudos de manera diagramática. Dados números enteros a_1, a_2, \dots, a_l definiremos el nudo $K(a_1, a_2, \dots, a_l)$ como en la Figura 19, dependiendo de la paridad de l . Los cuadrados representan el número de giros completos que se le dan a las hebras paralelas. La Figura 18 ilustra el caso de giros positivos. Los giros negativos se obtienen cambiando hebras superiores por hebras inferiores en las imágenes que aparecen en la derecha y el centro de la Figura 18.

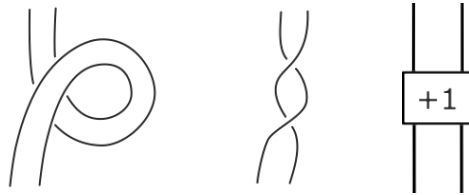


FIGURA 18. Tres representaciones equivalentes de bandas con giros completos.

Definición 4.2 (Nudos de 2 puentes). *Un nudo K es un nudo de dos puentes si admite un diagrama como en la Figura 19.*

Existe una biyección entre el conjunto de nudos de 2 puentes y el conjunto de números racionales con numerador impar. El número racional asociado a un nudo de 2 puentes se denomina forma normal de Schubert [13]. De manera explícita, al nudo $K(a_1, a_2, \dots, a_l)$ se asocia el número racional con fracción continua

$$[a_1, a_2, \dots, a_l] = a_1 + \frac{1}{a_2 + \frac{1}{\ddots + \frac{1}{a_{l-1} + \frac{1}{a_l}}}}$$

Dentro de la familia de nudos de 2 puentes con dos parámetros, destacamos los nudos $C_m = K(2m, 2m)$ con fracción $\frac{4m^2+1}{2m}$, $m \in \mathbb{Z}$.

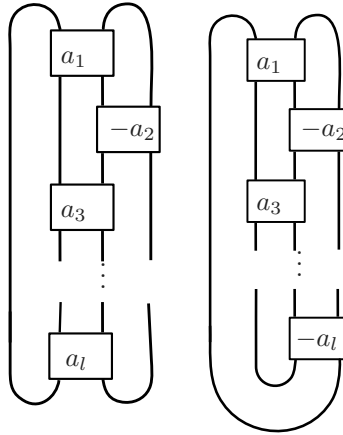


FIGURA 19. Nudos de 2 puentes con l parametros. En la izquierda se ilustra el caso l impar, a la derecha el caso l par.

Proposición 4.3 (Nudos Anfigurales). *Para todo $m \in \mathbb{Z}$, los nudos C_m y C_{-m} son equivalentes.*

La demostración de la proposición se la dejamos al lector interesado.

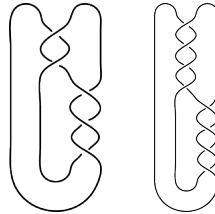


FIGURA 20. Ejemplos de nudos de 2-puentes con dos parametros. A la izquierda se muestra el nudo $5_2 = K(2,3)$ y a la derecha el nudo $8_3 = K(4,4)$.

4.3. Nudos Satelitales. En una operación satelital dos nudos (un patrón y una órbita) se combinan para producir un tercer nudo (el satélite) como en figura 21. En términos de espacios exteriores o complementos, un nudo J es un nudo satélite o satelital si y solo si su espacio exterior $S^3 \setminus N(J)$ contiene un toro incompresible que no es paralelo a la frontera. La clase de nudos satelitales incluye las sumas conexas de nudos.

Definición 4.4 (Operaciones Satelitales). *Sea $P \subset D^2 \times S^1$ un nudo encajado en un toro sólido y $K \subset S^3$ un nudo. Si $h : D^2 \times S^1 \rightarrow S^3$ es un embebimiento que identifica el toro sólido $D^2 \times S^1$ con una vecindad tubular de K , entonces $h(P)$ es el nudo satelital $P(K)$ con órbita K y patrón P .*

El número de índice w de la operación es el número de intersección $\#(P \cap D^2 \times \{\})$.*

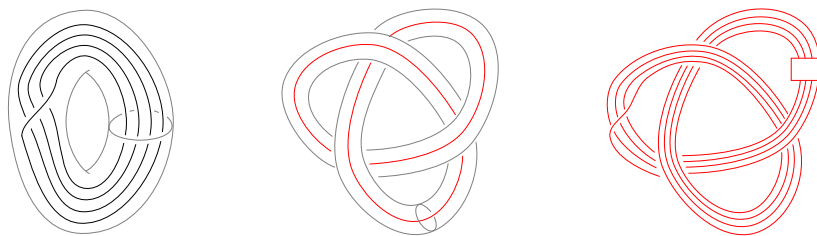


FIGURA 21. Los nudos que hacen parte de una operación satelital. Patrón $P = C_{4,1}$ (izquierda), órbita $T_{2,3}$ (centro) y nudo satelital $C_{4,1}(T_{2,3})$ (derecha). El cuadro de la derecha contiene tres giros completos negativos que corrigen la torsión (o writhe) $+3$ en el diagrama de $T_{2,3}$.

Es natural preguntarse cómo la complejidad del nudo $P(K)$ está determinada por las de sus piezas constituyentes P y K . En términos del 3-género, Schubert [12] da una fórmula exacta:

Teorema 4.5 (Schubert). *Para cualquier nudo no trivial K ,*

$$g_3(P(K)) = g_3(P) + |w|g_3(K),$$

5. SUPERFICIES CON UNA COMPONENTE CONEXA EN SU FRONTERA

A lo largo de este capítulo estudiaremos cómo podemos asociar una superficie a un nudo de forma que a partir de esta asignación podamos extraer información sobre la equivalencia de nudos.

5.1. Clasificación. En las secciones anteriores estuvimos interesados en estudiar las superficies cerradas y conexas, ahora queremos hacer una pequeña modificación y permitir la presencia de una única componente conexa en la frontera. Esto se puede lograr fácilmente al remover un disco de cada una de las superficies del Teorema 2.4, obteniendo superficies como se muestran en la Figura 22. Asimismo, una superficie F compacta, orientable y con frontera conexa da a lugar a una superficie cerrada y orientable de la siguiente manera: sea $g : \partial F \rightarrow S^1 = \partial D^2$ la función que identifica la componente conexa de la frontera de F con el círculo S^1 . Se forma entonces \widehat{F} como el espacio cociente de $F \sqcup D^2$ con relación de equivalencia definida por $x \sim g(x)$ para todo $x \in \partial F$ (y por supuesto todo $g(x) \in S^1 = \partial D^2$). En otras palabras, hay una correspondencia uno-a-uno entre las superficies orientables cerradas, y las superficies orientables con frontera conexa. De ésta correspondencia se sigue el siguiente resultado.

Teorema 5.1 (Homeomorfismo entre superficies). *Sean F_1 y F_2 dos superficies compactas, orientables y con una componente conexa en su frontera. F_1 y F_2 son homeomorfas si y solamente si tienen la misma característica de Euler.*

En términos de la característica de Euler tenemos $\chi(\widehat{F}) = \chi(F) + \chi(D^2) - \chi(S^1) = \chi(F) + 1$. Por lo tanto ecuación (2) muestra que

$$(4) \quad \chi(F) = 1 - 2g(F).$$

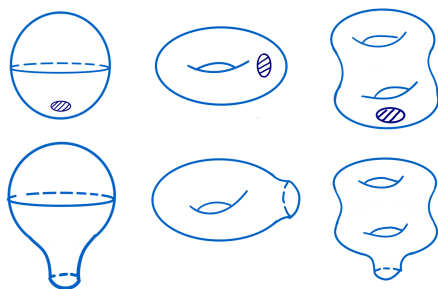


FIGURA 22. Superficies cerradas, conexas y con una componente conexas en su frontera

5.2. Superficies de Seifert. En esta sección queremos relacionar las superficies compactas, orientables y con una componente conexas en su frontera, con los nudos de tal forma que el nudo sea justamente la frontera de alguna superficie. El siguiente teorema nos garantiza la existencia de dicha superficie para un nudo contenido en \mathbb{R}^3 .

Teorema 5.2 (Seifert 1926). *Dado un diagrama D que representa un nudo $K \subset \mathbb{R}^3$, existe una superficie $F \subset \mathbb{R}^3$ encajada, compacta y orientable tal que $\partial F = K$. Dicha superficie se llama Superficie de Seifert del nudo K .*

La existencia de superficies de Seifert se puede establecer de varias maneras. Una de ellas es el llamado ‘algoritmo de Seifert’, un proceso que construye una superficie a partir de un diagrama dado.

Algoritmo de Seifert.

Input: Un diagrama D para un nudo K .

1. Asignar una orientación al nudo.
2. Reemplazar cada cruce con su resolución orientada, como se muestra en la Figura 23. El diagrama resultante es una colección de círculos orientados, conocidos como círculos de Seifert. A cada círculo de Seifert C se le asigna la ‘altura de anidación’ denotada por $h(C)$ y definida como el número de otros círculos que uno debe cruzar para llegar desde C al punto ‘en el infinito’ en \mathbb{R}^2 .
3. Rellenar cada círculo de Seifert C con un disco en \mathbb{R}^3 paralelo al plano xy y situado a la altura $z = h(C)$. Retomando la idea de orientaciones, pensamos en los discos como echos en tela con un lado oscuro y uno claro. Si C está orientado en el sentido de las manecillas del reloj, el lado visible del disco es el ‘oscuro’, de lo contrario el lado visible es el ‘claro’.
4. Conectar los discos usando bandas con giros en el lugar correspondiente a cada cruce. La orientación del giro de la banda se deriva del tipo de cruce. Como en el paso anterior, tomamos bandas echas de la misma tela de los discos. Siendo así el caso, al darle media vuelta a la banda rectangular vemos un color distinto a cada lado. Usando la selección de discos del paso anterior nos podemos asegurar

que en cada cruce los colores de la banda sean compatibles con los colores de los discos a los que se sujeta.

Output: Una superficie orientada S con frontera el nudo K .

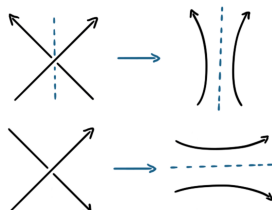


FIGURA 23. Resolución orientada de un cruce.

Ahora, vamos a ejemplificar los pasos que se usan en el algoritmo de Seifert para obtener una superficie tal que la frontera de esta sea un nudo dado.

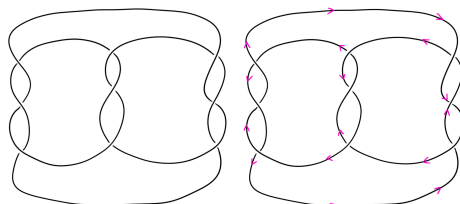


FIGURA 24. Orientación de un nudo

La Figura 24 muestra el resultado del primer paso, asociarle una orientación a nuestro nudo. En este caso, decidimos empezar por la derecha. Para efectuar el paso 2, dibujámos un hilo adyacente al diagrama del nudo, y al llegar a un cruce lo resolvemos de manera que se preserve la orientación asignada. La forma de resolver los cortes se puede ver en la Figura 23.

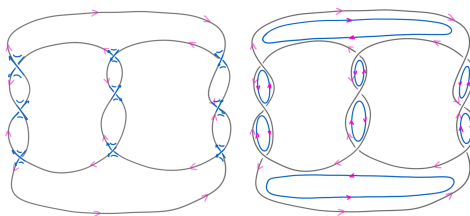


FIGURA 25. Círculos orientados

El resultado de estos hilos adyacentes a mi diagrama es una colección de círculos orientados en \mathbb{R}^2 , generalmente conocidos como *ciclos de Seifert*.

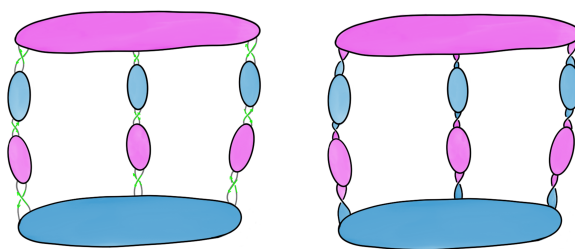


FIGURA 26. Superficie final

Note que en la Figura 26 usamos el color rosado para los discos cuya frontera está orientada en el sentido de las manecillas del reloj, y azul aquellos con la orientación contraria. Por último para reincorporar los cruces del nudo a nuestra superficie unimos cada disco mediante bandas trenzadas, el giro que debe tener la banda se infiere de la orientación original que tenía el cruce del nudo.

En el ejemplo anterior no se considera un nudo en donde tengamos círculos anidados. Para ilustrar la separación de discos anidados usando la altura de anidación, incluimos la Figura 27.

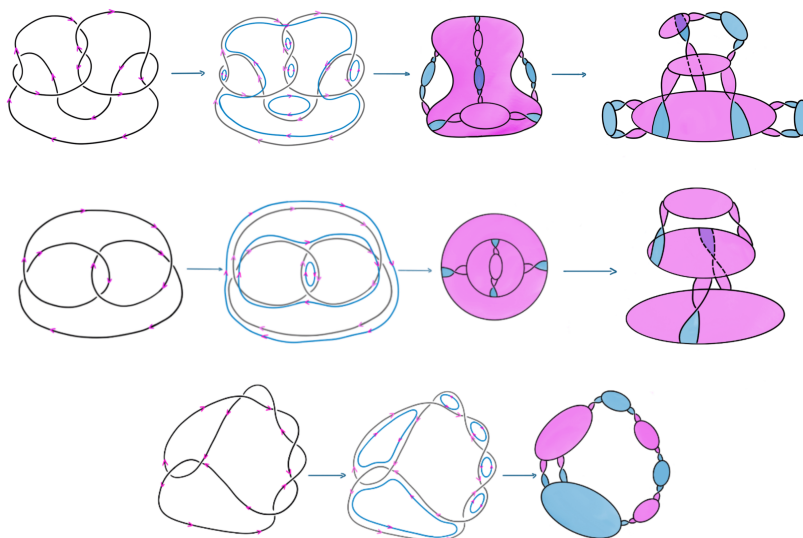


FIGURA 27. Superficies de Seifert de distintos nudos

Aunque este algoritmo nos permite construir la superficie de Seifert asociada, su resultado depende del diagrama del nudo, y por tanto no siempre nos da como output la superficie de género mínimo. Por ejemplo, la Figura 28 muestra dos diagramas del nudo trivial y las superficies obtenidas al ‘correr’ el algoritmo de Seifert usando cada diagrama como ‘input’. De acuerdo a el Teorema 5.1, para distinguir las dos superficies sería suficiente calcular su característica de Euler. Nuestro problema en

éste momento es que las fórmulas que tenemos para calcularla están dadas en términos de vértices, aristas, y caras ecuación (1) o en términos del género ecuación (4). La siguiente proposición nos da una fórmula que podremos aplicar directamente a las superficies obtenidas como ‘output’ del algoritmo de Seifert.

Proposición 5.3. *Si una superficie $F \subset \mathbb{R}^3$ compacta, orientable y que en su frontera tiene una componente conexa, se construye a partir de b bandas y d discos, entonces*

$$\chi(F) = d - b$$

Demostración. El resultado del algoritmo de Seifert se puede pensar como el espacio cociente de la unión de los discos de Seifert y las bandas, con relación de equivalencia determinada por la identificación de los lados ‘cortos’ de las bandas con arcos en los círculos de Seifert.

La unión consiste de $b + d$ caras, $4b$ aristas y $4b$ vértices de las bandas, y adicionalmente $2b$ aristas y $2b$ vértices de los discos. Para ver ésto último, note que cada círculo de Seifert C se construye como la unión de un conjunto de arcos provenientes del nudo K , y otro proveniente de las resoluciones de los cruces. Puesto que $\chi(C) = 0$, éstos dos conjuntos tienen el mismo número de elementos que se denota por a_C . La suma de a_C sobre todos los círculos de Seifert C es igual al número total de cruces del diagrama, y éste a su vez es igual al número b de bandas.

En el espacio cociente el número de caras sigue siendo $C = b + d$. Sin embargo, dado que los lados ‘cortos’ de las bandas se identifican con arcos en los círculos de Seifert, el número de aristas y vértices es menor. De hecho, todos los vértices de los círculos de Seifert se identifican con vértices en las bandas por lo que $V = 2b$. A su vez, la mitad de las aristas de las bandas se identifican con aristas de los círculos de Seifert y por lo tanto $A = 2b + 2b$. Como consecuencia,

$$\chi = (2b) - (2b + 2b) + (b + d) = d - b.$$

□

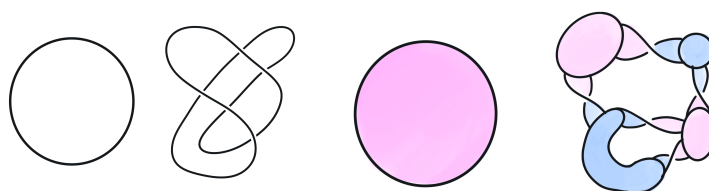


FIGURA 28. Dos diagramas diferentes del nudo trivial y las superficies obtenidas a partir del algoritmo de Seifert. Sus características de Euler son 1 y -1 respectivamente.

6. INVARIANTES DE NUDOS

A grandes rasgos, un invariante es una aplicación que asigna a cada uno un objeto matemático familiar -y usualmente algebraico. Debe asignar el mismo objeto a nudos equivalentes. En ésta sección nos concentraremos en invariantes de nudos que se definen en términos de las superficies de Seifert.

6.1. El 3-género de un nudo. Como hemos visto, las superficies se clasifican en términos de su género (Teorema 2.5, Teorema 5.1), y que a cada nudo K podemos asociar una superficie F con el nudo K como frontera (Sección 5.2). Es entonces tentador asignar la cantidad $g(F)$ al nudo K y así definir un invariante de nudos. El problema es que esta asignación está lejos de estar bien definida como lo ilustra Figura 28 donde se muestran superficies de género 0 y 1 con frontera el nudo trivial. La solución es simple: tomar el mínimo sobre todas las posibles superficies con frontera el nudo dado.

Definición 6.1 (3-género de un nudo). *Sea $K \subset \mathbb{R}^3$, se define el género del nudo K como*

$$g_3(K) = \min\{g(F) \mid F \subset \mathbb{R}^3 \text{ es una superficie } \partial F = K\}.$$

Dado que se consideran *todas* las superficies con frontera un nudo dado K , de la misma definición se sigue que el 3-género es un invariante de nudos, es decir, si dos nudos son isotópicos, entonces sus 3-géneros son iguales. Lo que no es cierto es que si dos nudos tienen el mismo 3-género, entonces los nudos son equivalentes. Ésto lo veremos más adelante cuando consideremos el nudo trébol y el nudo en ocho. Sin embargo, el caso del nudo trivial es especial:

Teorema 6.2 (3-Género del nudo trivial). *Un nudo $K \subset \mathbb{R}^3$ satisface $g_3(K) = 0$ si y solamente si K es el nudo trivial.*

La importancia de este teorema radica en poder reconocer directamente con el género si un nudo es isotópico al nudo trivial, razonamiento que no se puede establecer con los demás nudos.

6.2. Matriz de Seifert. Para obtener invariantes de nudos a partir de superficies de Seifert, vamos a extender la clasificación de las superficies con frontera conexa y nos vamos a concentrar no sólo en el tipo de homeomorfismo de una superficie $F \subset \mathbb{R}^3$, sino también en la manera precisa en la que F está encajada. Para ello cuantificaremos la interacción entre curvas cerradas en $\mathbb{R}^3 \setminus F$ y en F . Por ejemplo, si tomamos una superficie de Seifert para un nudo construida a partir de discos y bandas, podemos tomar una familia de curvas orientadas como en la Figura 31 que pasen por el centro de las bandas y formen arcos dentro de los discos. La manera en que estas curvas se retuercen y enlazan lleva información sobre el nudo, la cual se captura dentro de la *matriz de Seifert del nudo*, a partir de la noción del *número de enlace* y el *push-off* de curvas en F .

Sean α y β dos curvas cerradas y orientadas en \mathbb{R}^3 , el *número de enlace* de α y β se denota por $lk(\alpha, \beta)$ y se calcula de la siguiente manera:

1. Sea D un diagrama de la unión $\alpha \cup \beta$.
2. Se miran los cruces en D y se consideran solamente aquellos en los que una hebra de α pasa por encima de una hebra de β .
3. A cada uno de los cruces se le asigna un -1 si modulo rotaciones el cruce se ve como el cruce a la izquierda de la Figura 29. De lo contrario se asigna un $+1$.
4. El número de enlace es la suma de los números obtenidos en el paso anterior.

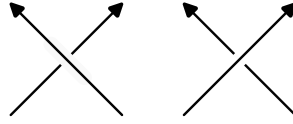


FIGURA 29. Cruce de la mano-izquierda (-1) y de la mano-derecha $(+1)$.

Remark 6.3. *Propiedades del número de enlace.*

- *El número de enlace no depende del diagrama, sino solo de las orientaciones de las componentes.*
- *El número de enlace siempre es un entero, no cambia bajo deformaciones y es simétrico: $lk(\alpha, \beta) = lk(\beta, \alpha)$.*
- *La suma se puede separar en dos partes: los cruces donde α está por encima de β y los cruces donde β está por encima de α .*

Para definir el push-off de γ una curva en $F \subset \mathbb{R}^3$ una superficie, primero identificamos una vecindad cerrada de F con el producto $F \times [-1, 1]$. El push-off positivo γ^+ de γ es la copia de γ en $F \times \{1\}$ de modo que γ^+ se encuentre justo por ‘encima’ de F . Como la superficie F es orientable, es posible escoger un campo vectorial unitario \vec{n} que es normal a F y que varía continuamente en cada punto. Desde ésta perspectiva γ^+ es la curva en $\mathbb{R}^3 \setminus F$ que corre en paralelo a γ y se obtiene al “halar” a γ en la dirección de \vec{n} . Para obtener el push-off negativo γ^- usamos la normal negativa $-\vec{n}$ (ver Figura 30).

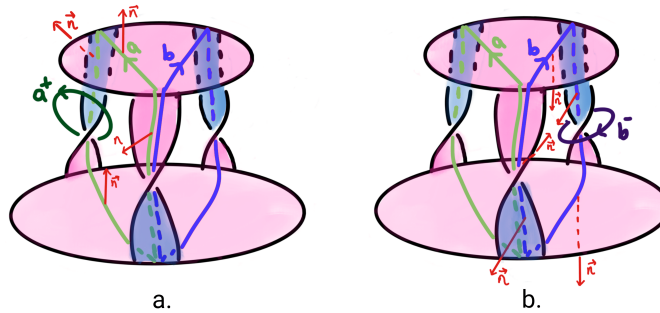


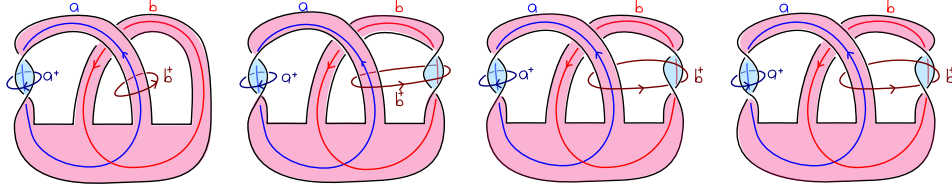
FIGURA 30. Push off positivo y negativo de dos curvas

Definición 6.4 (Matriz de Seifert). *Sea F una superficie de Seifert para un nudo K , y a_1, a_2, \dots, a_{2g} curvas cerradas en F que representan una base para $H_1(F; \mathbb{Z}) \cong \mathbb{Z}^{2g}$. La matriz V de tamaño $2g \times 2g$ con entradas*

$$v_{ij} = lk(a_i, a_j^+)$$

es una matriz de Seifert para K

Consideremos las siguientes superficies de Seifert, junto con sus curvas y sus respectivos push off positivos:



Entonces, sus matrices de Seifert asociadas respectivamente son:

$$V_1 = \begin{bmatrix} 1 & 1 \\ 0 & 0 \end{bmatrix} \quad V_2 = \begin{bmatrix} 1 & 1 \\ 0 & 1 \end{bmatrix} \quad V_3 = \begin{bmatrix} 1 & 1 \\ 0 & -1 \end{bmatrix} \quad V_4 = \begin{bmatrix} -1 & 1 \\ 0 & -1 \end{bmatrix}$$

FIGURA 31. Ejemplos de superficies de Seifert, base de $H_1(F; \mathbb{Z})$ y sus respectivos ‘push-offs’.

Una matriz de Seifert depende primero de la elección de superficie F y segundo de la elección de una base particular de $H_1(F; \mathbb{Z})$, por lo que, por sí sola, no es un invariante. Para obtener invariantes de nudos debemos primero establecer la relación precisa entre matrices de Seifert del mismo nudo, pero obtenidas a partir de elecciones distintas superficies o de bases de homología. Dos matrices de Seifert V_1, V_2 asociadas a una misma superficie F pero a bases distintas de $H_1(F; \mathbb{Z})$ son congruentes de forma unimodular. Es decir, existe una matriz unimodular P tal que $V_2 = P^T V_1 P$. La relación entre matrices de Seifert asociadas a superficies diferentes es un poco más delicada y depende de la siguiente definición.

Definición 6.5. Sea $V \in M_{n \times n}(\mathbb{Z})$. Una matriz W es una ampliación elemental de V si W tiene la forma

$$W = \left[\begin{array}{c|cc} V & 0 & 0 \\ \hline a & 0 & 0 \\ 0 & 1 & 0 \end{array} \right] \quad \text{o} \quad W = \left[\begin{array}{c|cc} V & b & 0 \\ \hline 0 & 0 & 1 \\ 0 & 0 & 0 \end{array} \right]$$

para algunos vectores $a \in M_{1 \times n}(\mathbb{Z})$ y $b \in M_{n \times 1}(\mathbb{Z})$. En éste caso V se llama una reducción elemental de W .

Definición 6.6 (*S-equivalencia*). Dos matrices V_1 y V_2 son *S-equivalentes* si una puede obtenerse de la otra mediante un número finito de ampliaciones/reducciones elementales, y congruencia unimodular.

Teorema 6.7. Sea K un nudo. Si V_1 y V_2 son dos matrices de Seifert asociadas al mismo nudo K , entonces V_1 y V_2 son *S-equivalentes*. Es más, en éste caso tenemos

- (1) Existe $m \in \mathbb{Z}$ tal que $\det(V_2 - tV_2^T) = (\pm t^m) \cdot \det(V_1 - tV_1^T)$, para todo $t \in \mathbb{R}$.
- (2) $\sigma(V_2 + V_2^T) = \sigma(V_1 + V_1^T)$

Demostración. A grandes rasgos, la demostración se basa en las siguientes ideas:

- (a) Las ampliaciones elementales provienen de realizar 0-cirugía a superficies,
- (b) las reducciones elementales provienen de realizar 1-cirugía a superficies, y
- (c) la congruencia unimodular representa cambios de base.

La demostración completa requiere un estudio cuidadoso del efecto de la cirugía en $H_1(F; \mathbb{Z})$ y en la forma de Seifert. Puede encontrarse en [6, Teorema 8.4].

Para establecer el resultado es suficiente considerar la congruencia unimodular y los dos tipos de ampliaciones de manera independiente. Primero, dos matrices V_1 y V_2 se relacionan por congruencia unimodular si existe una matriz unimodular P con entradas en \mathbb{Z} tal que $V_2 = PV_1P^T$. En ese caso

$$\det(V_2 - tV_2^T) = \det(P(V_1 - tV_1^T)P^T) = \det(P)^2 \det(V_1 - tV_1^T) = \det(V_1 - tV_1^T),$$

y $\sigma(P(V_2 + V_2^T)P^T) = \sigma(V_1 + V_1^T)$.

Para ver que el resultado es válido para los casos restantes, sin pérdida de generalidad supongamos

$$V_2 = \left[\begin{array}{c|cc} V_1 & 0 & 0 \\ \hline a & 0 & 0 \\ 0 & 1 & 0 \end{array} \right]$$

entonces tenemos

$$V_2 - tV_2^T = \left[\begin{array}{c|cc} V_1 - tV_1^T & -ta^T & 0 \\ \hline a & 0 & -t \\ 0 & 1 & 0 \end{array} \right],$$

y usando la última fila para calcular el determinante vemos que

$$\det(V_2 - tV_2^T) = \det \left[\begin{array}{c|cc} V_1 - tV_1^T & 0 \\ \hline a & -t \end{array} \right] = (-t) \cdot \det(V_1 - tV_1^T).$$

Adicionalmente,

$$V_2 + V_2^T = \left[\begin{array}{c|cc} V_1 + V_1^T & a^T & 0 \\ \hline a & 0 & 1 \\ 0 & 1 & 0 \end{array} \right].$$

Sea I la matriz identidad con las mismas dimensiones de V_1 . Si Q es la matriz

$$Q = \left[\begin{array}{c|cc} I_n & 0 & -a^T \\ \hline 0 & 1 & 0 \\ 0 & 0 & 1 \end{array} \right],$$

entonces

$$Q(V_2 + V_2^T)Q^T = \left[\begin{array}{c|cc} V_1 + V_1^T & 0 & 0 \\ \hline 0 & 0 & 1 \\ 0 & 1 & 0 \end{array} \right].$$

Dado que $\sigma \left(\begin{bmatrix} 0 & 1 \\ 1 & 0 \end{bmatrix} \right) = 0$ y la signatura es aditiva, tenemos

$$\sigma(Q(V_2 + V_2^T)Q^T) = \sigma(V_1 + V_1^T).$$

□

6.3. Polinomio de Alexander y Signatura. El polinomio de Alexander fue uno de los primeros invariantes de nudos en ser definidos. La definición original de Alexander se obtiene desde la combinatoria y data de 1923. En los 100 años desde su introducción, decenas de procedimientos para calcular el polinomio se han desarrollado, incluídas las relaciones de Skein [8, pp. 207-215], el cálculo de Fox [2] y la homología de espacios recubridores [10]. En estas notas nos enfocaremos en la definición algebraíca a partir de la matriz de Seifert. Para definir la signatura de un nudo, recordémos que dada una matriz simétrica, su signatura es la resta del número de valores propios positivos menos el número de valores propios negativos, y que para cualquier matriz V , la matriz $V + V^T$ es simétrica.

Definición 6.8. Sea $K \subset \mathbb{R}^3$ con matriz de Seifert V .

(1) El polinomio de Alexander de K se define como

$$\Delta_K(t) = \det(V - tV^T)$$

(módulo múltiplos de $\pm t^m$)

(2) La signatura de K es la signatura de la matriz simétrica $V + V^T$. Se denota como $\sigma(K)$

Para demostrar que el polinomio de Alexander y la signatura son efectivamente invariantes de nudos, se debe demostrar que sus valores no dependen de la elección de superficie y/o matriz de Seifert. El siguiente teorema es simplemente una reformulación de Teorema 6.7.

Teorema 6.9. *Si K_1, K_2 son nudos equivalentes,*

(1) ([8, Ch. 6 Sec. 2 Cor. 4]) $\Delta_{K_1}(t) = \Delta_{K_2}(t)$ (módulo múltiplos de $\pm t^m$)

(2) ([8, Ch. 6 Sec. 3 Cor. 5]) $\sigma(K_1) = \sigma(K_2)$

Detrás de éstas definiciones y teoremas se esconde una pregunta: si el polinomio de Alexander y la signatura se derivan de una superficie de Seifert, pero son independientes de la elección específica de ésta, ¿se pueden relacionar con el 3-género 3 del nudo? La respuesta es un rotundo sí: el polinomio de Alexander y la signatura permiten establecer cotas inferiores para el 3-género. Para ello, definimos $\deg(\Delta_K(t))$ como la diferencia entre el mayor y el menor de los grados de los monomios del polinomio. Nótese que ésta cantidad no cambia incluso módulo múltiplos de potencias de la variable t .

Teorema 6.10 (Cotas inferiores al 3-género). *Sea $K \subseteq S^3$ un nudo. Se tienen las siguientes cotas para el 3-género de K*

1. $\deg(\Delta_K(t)) \leq 2g_3(K)$

2. $|\sigma(K)| \leq 2g_3(K)$

La demostración se obtiene casi directamente de las siguientes ideas que se estudian en un primer curso de algebra lineal: Sea X una matriz cuadrada con entradas $x_{i,j}$ $1 \leq i, j \leq n$.

1. La fórmula de Leibniz expresa $\det(X)$ como la suma

$$\sum_{\tau \in S_n} \text{sgn}(\tau) \prod_{i=1}^n x_{\tau(i), i}.$$

Esta expresión nos permite considerar $\det(X)$ como un elemento de $\mathbb{Z}[x_{i,j}]$ de grado a lo sumo n .

2. Supongamos que X es simétrica, y n_+, n_- denotan respectivamente el número de valores propios positivos y negativos de X . Entonces $\sigma(X) = n_+ - n_- \leq n_+ + n_- \leq n$.

Demostración. Sea F una superficie en \mathbb{R}^3 de género g y con frontera el nudo K . Sea V una matriz de Seifert asociada a F . Recordemos que V es entonces una matriz de dimensión $2g \times 2g$. Dado que el determinante es una combinación lineal de productos de $2g$ entradas de la matriz, el grado de $\det(V - tV^T)$ es a lo sumo $2g$. De la misma manera, $\sigma(K) \leq 2g$. Escogiendo entonces la superficie F de tal manera que $g(F) = g_3(K)$ obtenemos las cotas deseadas. \square

²En ésta expresión S_n denota el grupo de permutaciones de un conjunto de n elementos, y $\text{sgn}(\tau)$ representa el signo de τ

6.4. Ejemplos. Observemos algunos ejemplos del cálculo de polinomios de Alexander. Para ello consideremos las superficies y matrices de Seifert de Figura 31. Con estas matrices consideramos las matrices $V - tV^T$, y sus respectivos determinantes que dan lugar a los polinomios de Alexander correspondientes a cada superficie, como se muestran a continuación.

K	U	$T_{2,-3}$	4_1	$T_{2,3}$
$\Delta_K(t)$	t	$1 - t + t^2$	$-1 + 3t - t^2$	$1 - t + t^2$
$\sigma(K)$	0	2	0	-2

CUADRO 2. Ejemplos de cálculos del polinomio de Alexander y la signatura de los nudos de la Figura 31

Si bien el 3-género $g_3(K)$ de un nudo K es un invariante, su definición como el mínimo de un conjunto dificulta su cálculo. En algunos casos el Teorema 6.10 nos da herramientas suficientes para calcular valores exactos de $g_3(K)$, como lo describiremos a continuación.

Considerémos el nudo trébol T . En Cuadro 2 se muestra que $|\sigma(T)| = 2$ y $\deg(\Delta_T(t)) = 2$. Como consecuencia de Teorema 6.10 tenemos entonces $1 \leq g_3(T)$. Por otro lado, Figura 31 muestra una superficie de Seifert de T con género exactamente 1, de lo cual se sigue que $g_3(T) = 1$.

El caso del nudo en ocho 4_1 es similar: $|\sigma(4_1)| = 0$, $\deg(\Delta_{4_1}(t)) = 2$ (ver Cuadro 2) y Figura 31 muestra una superficie de Seifert para 4_1 con género exactamente 1. Si bien la signatura nos da una cota inferior para $g_3(4_1)$, no nos permite decidir si $g_3(4_1)$ es 0 o 1. Sin embargo, el grado del polinomio de Alexander nos permite concluir que $g_3(4_1) = 1$. Éste ejemplo ilustra la importancia de calcular ambas cotas.

7. CONCORDANCIA

En esta sección se quiere abordar la estructura de grupo que adoptan los nudos a partir de una relación de equivalencia, siendo la suma conexa la operación del grupo. El objetivo de la sección es dar una breve introducción a esta estructura y motivar a quien lea estas notas para indagar más sobre este tema.

7.1. Monomio de grupo. Sean K_1 y K_2 dos nudos. Para entender de manera intuitiva la suma conexa $K_1 \# K_2$, primero se toman proyecciones disjuntas de K_1 y K_2 en el plano. Luego se escoge un arco a con frontera $\partial a = \{a_1, a_2\}$ tal que $a_i \in K_i$ y $\text{int}(a)$ es disjunto de los nudos. Si U_i denotan vecindades de a_i en K_i , la suma conexa es el resultado de unir $K_1 \setminus U_1$ y $K_2 \setminus U_2$ a lo largo de arcos paralelos a a , como se muestran en la Figura 32. La suma conexa hereda una orientación consistente con las orientaciones de los dos nudos originales, y la clase de isotopía es independiente de la elección de arco a .

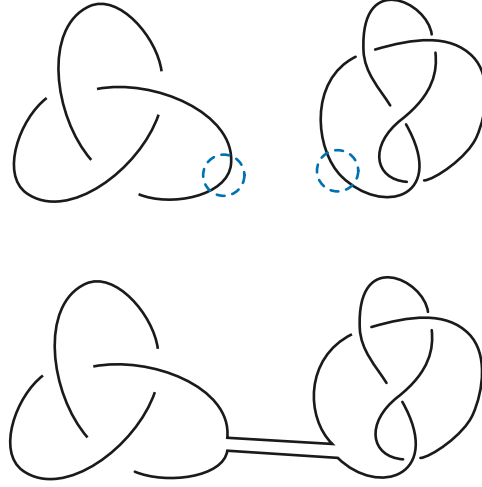


FIGURA 32. Suma conexa

Para estudiar la manera en que nuestros invariantes se comportan bajo la suma conexa, es conveniente introducir la noción de *suma conexa en la frontera* de superficies de Seifert. Para ello, si F_i es una superficie de Seifert para K_i ($i = 1, 2$), se construye la superficie $F_1 \natural F_2$ como el espacio cociente de la unión de F_1 , F_2 y una vecindad $a \times [0, 1]$ del arco a que identifica los segmentos ‘verticales’ $a_i \times [0, 1]$ con las vecindades $U_i \subset F_i$. Como consecuencia de la construcción misma tenemos que la frontera de $F_1 \natural F_2$ es el nudo $K_1 \# K_2$, y adicionalmente

$$(5) \quad g_3(K_1 \# K_2) \leq g(F_1 \natural F_2) = g(F_1) + g(F_2).$$

Tomando mínimos sobre todas las posibles superficies F_1 y F_2 obtenemos la desigualdad $g_3(K_1 \# K_2) \leq g_3(K_1) + g_3(K_2)$. La demostración de la desigualdad contraria se puede encontrar en [11, 5.A.14].

La siguiente proposición establece el comportamiento preciso de los invariantes estudiados en la Sección 6 con respecto a la suma conexa.

Proposición 7.1. *Sean K_1, K_2 nudos. Entonces,*

1. $g_3(K_1 \# K_2) = g_3(K_1) + g_3(K_2)$
2. $\Delta_{K_1 \# K_2}(t) = \Delta_{K_1}(t) \cdot \Delta_{K_2}(t)$.
3. $\sigma(K_1 \# K_2) = \sigma(K_1) + \sigma(K_2)$.

Los últimos dos enunciados de esta proposición se demuestran eligiendo primero conjuntos B_1 y B_2 abiertos disjuntos de \mathbb{R}^3 que contienen a los nudos K_1 y K_2 respectivamente, y luego superficies de Seifert F_1 y F_2 completamente contenidas en B_1 y B_2 respectivamente. La matriz de Seifert asociada a $F_1 \natural F_2$ en este caso es una matriz por bloques de la forma

$$\begin{bmatrix} V_1 & 0 \\ 0 & V_2 \end{bmatrix},$$

donde V_i es la matriz de Seifert asociada a F_i ($i = 1, 2$).

Hasta el momento hemos establecido que el conjunto de nudos orientados forma un semigrupo conmutativo con suma conexa como operación binaria. Para obtener una estructura de grupo tendríamos que demostrar la existencia de un elemento identidad, y la existencia de inversos. No es difícil ver que el nudo trivial es el elemento identidad, sin embargo, como el siguiente lema lo demuestra, los nudos no triviales no tienen inversos.

Lema 7.2. *El nudo trivial no se puede expresar como la suma de dos nudos no triviales.*

Demostración. Si K y J son dos nudos no triviales tales que $K\#J$ es el nudo trivial U , entonces $g_3(K\#J) = 0$, y $g_3(K), g_3(J) > 0$ como consecuencia de Teorema 6.2. Dado que el 3-género es aditivo, tenemos que $0 = g_3(K\#J) = g_3(K) + g_3(J) > 0$, llegando así a una contradicción. \square

7.2. Grupo de Concordancia. La falta de inversos se puede resolver considerando superficies encajadas ya no en \mathbb{R}^3 , sino en \mathbb{R}^4 , y con ellas la noción de concordancia de nudos. El estudio de la concordancia de nudos comenzó con el trabajo de Artin [1] quien notó que dado un encaje topológico diferenciable $\phi : S^2 \hookrightarrow \mathbb{R}^4$, la intersección de su imagen con el subespacio $\mathbb{R}^3 \times \{0\}$ es un nudo K no trivial, y que K es la frontera de un disco propiamente encajado en \mathbb{R}^4 . Los nudos que surgen de esta manera se conocen como nudos ‘rebanada’ o ‘tajada’. Para cuantificar ésta idea, extendemos la definición de g_3 de la siguiente manera:

Definición 7.3 (4-género de un nudo). *Sea $K \subset \mathbb{R}^3$, se define el género del nudo K como*

$$g_4(K) = \min\{g(F) \mid \phi : F \hookrightarrow \mathbb{R}_+^4 \text{ encaje diferenciable propio } \phi(\partial F) = K\}.$$

En la definición anterior \mathbb{R}_+^4 denota el conjunto de puntos de \mathbb{R}^4 cuya última coordenada es mayor o igual a cero, de tal manera que $\mathbb{R}^3 \times \{0\}$ es su frontera.

Con miras a una definición rigurosa de concordancia, definimos:

Definición 7.4 (Imagen Especular). *Sea $m : \mathbb{R}^3 \rightarrow \mathbb{R}^3$ la función definida por $(x, y, z) \rightarrow (x, y, -z)$. Dado un nudo K , su imagen especular es el nudo obtenido como $m(K)$*

En términos de diagramas de nudos, si D es el diagrama de K que se obtiene a partir de la proyección de K en el plano xy , entonces el diagrama que se obtiene al cambiar en cada cruce de D las hebras superiores por hebras inferiores es un diagrama de $m(K)$. Nótese que si K es un nudo orientado, $m(K)$ es también un nudo orientado con orientación inducida por aquella de K .

Dado un nudo orientado $K \subset S^3$, denotamos por $-K$ el nudo $m(K)$ con la orientación opuesta a la de K .

Definición 7.5 (Concordancia). *Dos nudos K y J en S^3 son concordantes si $g_4(K\#-J) = 0$. En otras palabras, si la suma conexa $K\#-J$ es la frontera de un disco D^2 propiamente y suavemente encajado en \mathbb{R}_+^4 .*

Vemos entonces la manera en que la noción de nudo tajada da lugar a la idea de concordancia, y con ella logramos establecer la estructura de grupo que buscábamos:

Teorema 7.6 (Fox-Milnor [3]). *La concordancia es una relación de equivalencia y el conjunto de clases de concordancia forma un grupo abeliano \mathcal{C} con la suma conexa como operación binaria.*

El elemento trivial de \mathcal{C} es la clase de equivalencia del nudo trivial, y tiene como representantes los nudos tajada. La existencia de inversos en \mathcal{C} son consecuencias de la siguiente proposición.

Proposición 7.7. *Para todo nudo $K \subset S^3$, el nudo $K\# -K$ es la frontera de un disco en \mathbb{R}^4 .*

Demostración. Coloque una copia de K justo encima del plano xy , y una copia de su espejo $m(K)$ justo debajo del plano. Nótese que lejos de los cruces, los nudos K y $m(K)$ son idénticos, y consisten en la unión disjunta de arcos α ubicados en \mathbb{R}^3 en los planos $z = 1$ y $z = -1$, digamos. Podemos entonces construir una superficie como el producto de estos arcos con el intervalo $[-1, 1]$, y las dos copias de α son precisamente la frontera ‘horizontal’ de ésta superficie. En contraste, en los cruces del nudo cada hebra de K se une con la hebra correspondiente de $m(K)$ a través de un ‘rectángulo’. La superficie así construida es la imagen de una inmersión $\psi : [0, 1] \times S^1 \hookrightarrow \mathbb{R}^3$ cuyo conjunto singular $S = \{x \in \text{Im}(\psi) \mid \psi \text{ no es } 1-1\}$ tiene una estructura especial: dado que en cada cruce la hebra superior de K corresponde a la hebra inferior de $m(K)$ (y viceversa), cada componente conexa de S es la imagen bajo ψ de un par de intervalos cerrados, uno con puntos límites en la frontera de $[0, 1] \times S^1$ y otro completamente contenido en su interior (véase Figura 33). Estas singularidades se conocen como singularidades de cinta o listón, y se pueden resolver en \mathbb{R}_+^4 de la siguiente manera. Sea $I \subset [0, 1] \times S^1$ un intervalo completamente contenido en el interior del cilindro $[0, 1] \times S^1$ tal que $\psi(I)$ es una componente conexa de S . Sea U una vecindad de I en el cilindro. El resultado de incluir el interior de $\psi(U)$ al interior de \mathbb{R}_+^4 mientras se deja $\psi(\partial U)$ fija en $\mathbb{R}^3 \times \{0\}$ es un cilindro $[0, 1] \times S^1$ propiamente encajado en \mathbb{R}_+^4 . El complemento en el cilindro de un entorno tubular de un arco vertical es el disco deseado. Su frontera es la suma conexa de K y $m(K^r)$, su imagen especular con orientación opuesta.³ \square

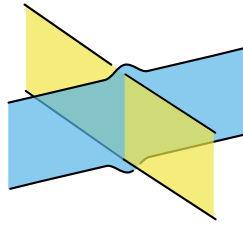


FIGURA 33. Singularidad de listón.

Teorema 7.8 (Levine [5, 4]). *Existe un homomorfismo de grupos sobreyectivo $f : \mathcal{C} \rightarrow \mathbb{Z}^\infty \oplus (\mathbb{Z}/2)^\infty \oplus (\mathbb{Z}/4)^\infty$.*

³Excelentes figuras que ilustran ésta construcción se pueden ver en el siguiente enlace <https://sketchesoftopology.wordpress.com/2009/04/20/mirrors-and-ribbons/>

De hecho, los elementos de \mathcal{C} cuya imagen bajo f es $\mathbb{Z}^\infty \oplus (\mathbb{Z}/2)^\infty$ fueron introducidos en Sección 4. Primero, la colección de nudos $\{T_{2,2k+1}\}_{k=1}^\infty$ de Sección 4.1 genera un subgrupo de \mathcal{C} isomorfo a \mathbb{Z}^∞ , es decir, ninguna combinación lineal de sus elementos es un nudo ‘tajada’. Cálculos similares a los llevados a cabo al final de Sección 6 dan $\sigma(T_{2,2k+1}) = -2k$, y por lo tanto cada nudo $T_{2,2k+1}$ genera un subgrupo isomorfo a \mathbb{Z} . Para obtener el subgrupo \mathbb{Z}^∞ se requiere una generalización de la signatura de nudos a una función de signaturas $\sigma_K : S^1 \rightarrow \mathbb{Z}$.

Como consecuencia de la Proposición 4.3 tenemos que existe una isotopía entre el nudo $K(2m, 2m)$ (ver la Figura 20) y su imagen especular $K(-2m, -2m)$ (con orientación opuesta). De esto se desprende que la suma $K(2m, 2m) \# K(-2m, -2m)$ es un nudo ‘tajada’, o en otras palabras, el nudo $K(2m, 2m)$ tiene orden dos en \mathcal{C} para $m \neq 0$. Un análisis cuidadoso de los factores irreducibles del polinomio de Alexander de los elementos de la colección $\{K(2m, 2m)\}_{m=1}^\infty$ permite concluir que ésta genera un subgrupo isomorfo a $(\mathbb{Z}/2)^\infty$. Los detalles se pueden encontrar en [7].

REFERENCIAS

- [1] Emil Artin. Zur isotopie zweidimensionaler flächen im r 4. In *Abhandlungen aus dem Mathematischen Seminar der Universität Hamburg*, volume 4, pages 174–177. Springer, 1925.
- [2] R. H. Fox. A quick trip through knot theory. In *Topology of 3-manifolds and related topics (Proc. The Univ. of Georgia Institute, 1961)*, pages 120–167. Prentice-Hall, Inc., Englewood Cliffs, NJ, 1961.
- [3] Ralph H. Fox and John W. Milnor. Singularities of 2-spheres in 4-space and cobordism of knots. *Osaka Math. J.*, 3:257–267, 1966.
- [4] Jerome Levine. Invariants of knot cobordism. *Inventiones Mathematicae*, 8(2):98–110, 1969.
- [5] Jerome Levine. Knot cobordism groups in codimension two. *Commentarii Mathematici Helvetici*, 44(1):229–244, 1969.
- [6] W.B. Raymond Lickorish. *An introduction to knot theory*, volume 175. Springer, 1997.
- [7] C. Livingston and S. Naik. Introduction to knot concordance. Work in progress, 1991.
- [8] Charles Livingston. *Knot theory*, volume 24 of *Carus Mathematical Monographs*. Mathematical Association of America, Washington, DC, 1993.
- [9] William Menasco. Closed incompressible surfaces in alternating knot and link complements. *Topology*, 23(1):37–44, 1984.
- [10] John W. Milnor. Infinite cyclic coverings. In *Conference on the Topology of Manifolds (Michigan State Univ., E. Lansing, Mich., 1967)*, volume Vol. 13 of *The Prindle, Weber & Schmidt Complementary Series in Mathematics*, pages 115–133. Prindle, Weber & Schmidt, Boston, Mass.-London-Sydney, 1968.
- [11] Dale Rolfsen. *Knots and links*, volume 346 of *AMS Chelsea Publishing Series*. AMS Chelsea Pub., 2003.
- [12] Horst Schubert. Knoten und Vollringe. *Acta Math.*, 90:131–286, 1953.
- [13] Horst Schubert. Knoten mit zwei brücken. *Mathematische Zeitschrift*, 65:133–170, 1956.
- [14] Daniel S. Silver. Knot theory’s odd origins: The modern study of knots grew out an attempt by three 19th-century scottish physicists to apply knot theory to fundamental questions about the universe. *American Scientist*, 94(2):158–165, 2006.
- [15] Saul Stahl and Catherine Stenson. *Introduction to topology and geometry*. John Wiley & Sons, 2014.

Email address: ysarciniegasb@udistrital.edu.co

Email address: Nicolbermudez777@gmail.com

DEPARTMENT OF MATHEMATICS, UNIVERSITY OF NOTRE DAME, NOTRE DAME, IN 46556

Email address: jpinzonc@nd.edu

Email address: lfrozopo@unal.edu.co